



E-ISSN: 2278-4136  
P-ISSN: 2349-8234  
JPP 2016; 5(2): 109-113  
Received: 23-01-2016  
Accepted: 25-02-2016

**Vincent Emile Rasamison**  
National Center for Applied  
Pharmaceutical Research,  
Ivandry, B.P. 702, 101  
Antananarivo, Madagascar

**Harinantaina Liva Rakotondraibe**  
Division of Medicinal Chemistry  
and Pharmacognosy, College of  
Pharmacy, The Ohio State  
University, Columbus, OH  
43210, USA

**Vahinalahaja Razafintsalama**  
National Center for Applied  
Pharmaceutical Research,  
Ivandry, B.P. 702, 101  
Antananarivo, Madagascar

**Stephan Rakotonandrasana**  
National Center for Applied  
Pharmaceutical Research,  
Ivandry, B.P. 702, 101  
Antananarivo, Madagascar

**Andriamalala Rakotondrafara**  
National Center for Applied  
Pharmaceutical Research,  
Ivandry, B.P. 702, 101  
Antananarivo, Madagascar

**Michel Alain Ratsimbason**  
National Center for Applied  
Pharmaceutical Research,  
Ivandry, B.P. 702, 101  
Antananarivo, Madagascar

**Elie Rafidinarivo**  
High Institute of Technology,  
Ampasampito, B.P. 8122, 101  
Antananarivo, Madagascar

**Correspondence**  
**Vincent Emile Rasamison**  
National Center for Applied  
Pharmaceutical Research,  
Ivandry, B.P. 702, 101  
Antananarivo, Madagascar

## Chemical constituents from stems and leaves of *Diospyros gracilipes* Hiern and the antimicrobial and cytotoxic principles

**Vincent Emile Rasamison, Harinantaina Liva Rakotondraibe, Vahinalahaja Razafintsalama, Stephan Rakotonandrasana, Andriamalala Rakotondrafara, Michel Alain Ratsimbason, Elie Rafidinarivo**

### Abstract

The ethanolic extract from stems and leaves of *Diospyros gracilipes* Hiern showed moderate antimicrobial activity against *Staphylococcus aureus* (9 mm), *Klebsiella pneumonia* (7 mm) and *Candida albicans* (11 mm) using the disc diffusion assay. Fractionation of the extract led to the isolation of luponone, ursolic acid, corosolic acid, a mixture of 3 $\alpha$ - and 3 $\beta$ -taraxerols, 3 $\beta$ -E-coumaroyltaraxerol, pinocembrin, scopoletin, plumbagin and elliptinone as established by spectroscopic techniques. Plumbagin exhibited potent antimicrobial activity against the three test microorganisms with inhibitory zones ranging between 30 and 43 mm at 50  $\mu$ g/disc, and 21 and 28 mm at 10  $\mu$ g/disc. Plumbagin displayed significant cytotoxicity ( $IC_{50}=0.26$   $\mu$ g/mL) against HT-29 colon cancer cell line in the sulforhodamine B assay, whereas elliptinone showed weaker activity ( $IC_{50}=13.29$   $\mu$ g/mL) compared to plumbagin. The reported anti-progestational activity of plumbagin provides a rationale for the popular use of this plant as abortifacient.

**Keywords:** *Diospyros gracilipes*; Chemical constituents; Antimicrobial activity; Cytotoxicity; Plumbagin; Elliptinone.

### Introduction

Madagascar is classified as a country of biodiversity hot spot. Its flora consists of approximately 12,000 plant species, of which 80% are endemic. The Malagasy forests host a large number of medicinal plants used by local people to treat a variety of illnesses. This biological richness may constitute a reservoir of natural products of great significance as drugs and lead structures.

*Diospyros* is a large pantropical genus of approximately 500 species in the Ebenaceae family. More than 100 *Diospyros* species are encountered in Madagascar. Most of them, for example *D. gracilipes*, *D. perrieri* and *D. platycalyx*, commonly known as ebonies are reputed to produce a very good quality of wood which is highly demanded and primarily used in making furniture, music instruments or ornamental articles [1]. Many *Diospyros* are used worldwide in indigenous health system of medicine to treat various human diseases as enlisted by Khan and Timi [2]. Some species have been chemically and biologically investigated and reported to contain structurally diverse secondary metabolites including triterpenoids, naphthoquinones and polyphenols endowed with antimicrobial, antioxidant and tyrosinase inhibitory activities [3-5]. In the course of our studies on the bioactive principles from endemic plants that are employed in traditional medicine in Madagascar, we examined the constituents of the stems and leaves of *Diospyros gracilipes* Hiern. It is a tree reaching 15 m in height, found in humid forests in the northern and eastern regions of Madagascar. The barks, leaves and fruits are popularly used to stimulate uterine contractions during childbirth and as abortifacient [1]. There have been no previous reports on the constituents and biological activities of this species. The present work aims at isolating phytochemicals from stems and leaves of *D. gracilipes* and evaluating their antimicrobial and cytotoxic activities.

### Materials and Methods

#### Plant material

The stems and leaves of *D. gracilipes* were collected in October 2011 in the Integrale Natural Reserve of Tsaratanana, Commune of Mangindrano in the North of Madagascar. The species was identified by one of us (S.R.) at the Botany and Ethnobotany Department of the National

Center for Applied Pharmaceutical Research, Antananarivo, Madagascar, where a voucher specimen (ST1486) is also deposited.

### Extraction and isolation

The stems and leaves of *D. gracilipes* (350 g) were powdered and extracted with EtOH at room temperature for 48 hours, resulting in the crude ethanolic extract (11.3 g). A portion (8.5 g) was suspended in 90% aqueous MeOH (200 mL) and extracted with *n*-hexane (3 x 200 mL). The aqueous MeOH layer was then diluted to 60% aqueous MeOH by addition of water before partitioning with CHCl<sub>3</sub> (3 x 200 mL). Evaporation of the solvents *in vacuo* provided dried *n*-hexane-soluble (1.7 g), CHCl<sub>3</sub>-soluble (2.1 g) and MeOH-soluble (4.3 g) fractions.

The hexane-soluble fraction was first chromatographed over silica gel column with different solvents of increasing polarity (*n*-hexane/CH<sub>2</sub>Cl<sub>2</sub> followed by CH<sub>2</sub>Cl<sub>2</sub>/MeOH) to yield six fractions (A1-A6). Fractions A1 (429.7 mg) was further fractionated over silica gel column (*n*-hexane/EtOAc, 100:0→0:100) to yield five sub-fractions (A11-A15). Sub-fractions A12 and A14 were crystallized from MeOH to give a mixture of compounds 4 and 5 (3.6 mg), and compound 6 (2.3 mg), respectively. Fraction A4 was subjected to RP-18 silica gel column (MeOH/H<sub>2</sub>O, 4:1) as eluent to afford compound 2 (8.3 mg). Purification of fraction A5 (178.6 mg) on Sephadex LH-20 (CHCl<sub>3</sub>/MeOH, 7:3) furnished compound 8 (1.5 mg). The CHCl<sub>3</sub>-soluble fraction was loaded on a silica gel column with gradient elution of CH<sub>2</sub>Cl<sub>2</sub>/MeOH to give eight fractions (B1-B8). Further separation of fraction B1 (67 mg) by silica gel column chromatography with different mixtures of EtOAc in *n*-hexane gave six subfractions (B11-B16). Sub-fraction B13 was washed with EtOAc to leave compound 10 (0.4 mg). Fraction B6 (129.1 mg) was further separated on Sephadex LH-20 (CHCl<sub>3</sub>/MeOH, 7:3) and RP-18 silica gel (MeOH/H<sub>2</sub>O, 7:3 and 3:2) to afford compound 3 (6.6 mg).

Sub-fractions A11 and B11 from the above column chromatography were pooled because they showed almost identical TLC patterns. The combined fraction (total weight 140.7 mg) was purified by silica gel column (*n*-hexane/EtOAc, 15:1) and RP-18 silica gel column to give compound 1 (1.5 mg) and compound 9 (2.3 mg). Similarly, the combined sub-fractions A13 and B14 (total weight 89.8 mg) were subjected to a silica gel column (*n*-hexane/EtOAc, 7:1) and RP-18 silica gel column to furnish compound 7 (1.4 mg).

Purity of compounds was checked on normal phase silica gel TLC or RP-18 silica gel TLC. TLC plates were developed with suitable eluents. Spots were first visualized under UV light at 254 and 366 nm and then by using the vanillin sulphuric spray reagent.

### Structural elucidation

The chemical background of the genus and the Rf value, fluorescence and color on TLC of the studied compound gave a first idea of the chemical class to which it belongs. Structures were elucidated by means of spectroscopic techniques (<sup>1</sup>H

NMR, <sup>1</sup>H-<sup>1</sup>H COSY, MS). Spectra were carefully interpreted and data obtained were compared with those published in the literature.

### Antimicrobial assay

The microorganisms used in this study consisted of the Gram-positive bacteria *Staphylococcus aureus* (ATCC 11632), the Gram-negative bacteria *Klebsiella pneumoniae* (from the stock culture of the Pharmacology Department of the National Center for Applied Pharmaceutical Research, Antananarivo, Madagascar) and the yeast *Candida albicans* (ATCC 10231). Antimicrobial activity and susceptibility-screening tests were performed using the disc diffusion method. Each microorganism was suspended in Muller-Hinton broth (Difco, Detroit, MI) for the bacteria and Sabouraud broth (Difco, Detroit, MI) for the yeast. They were diluted with peptone water to provide cell counts of the inoculum at 10<sup>6</sup> CFU/ml. Bacterial strains were then inoculated on Mueller-Hinton agar plates and the yeast in Sabouraud agar, each in triplicate. Sterilized filter paper discs of 6 mm diameter (Biomérieux, Marcy l'Etoile, France) were saturated with 10 µL of the ethanolic extract (100 µg/disc) and the compounds (10 and 50 µg/disc). Soaked discs were then placed on the plates and incubated for 24 h, after which the diameter of the inhibitory zone was measured (mm). Negative controls consisted of the solvents used to dissolve the samples. Each assay was done in triplicate. The results were expressed as the mean value of the inhibition zones. Tetracyclin and miconazole (Bio-Rad, Marnes-la-Coquette, France) were used as positive controls.

### Cytotoxicity assay

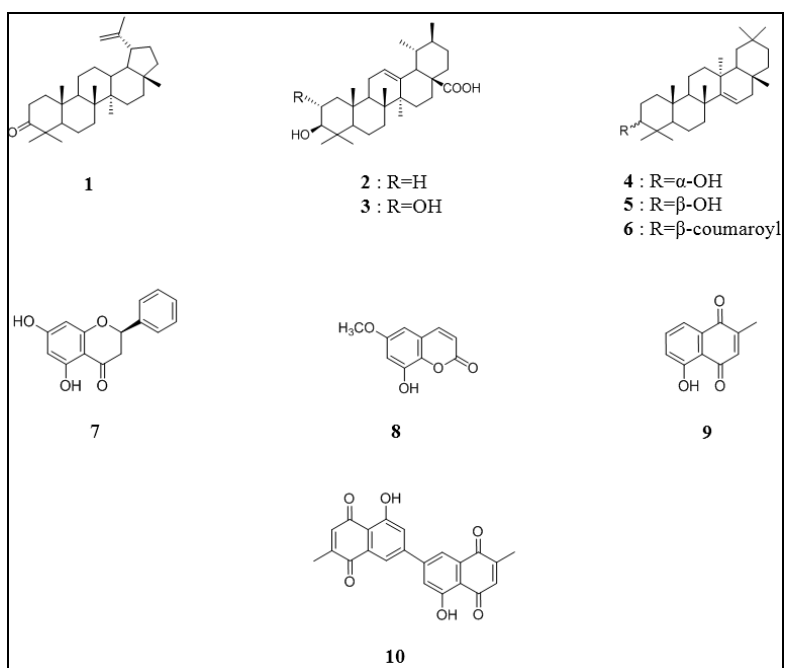
Cytotoxic assay against HT-29 colon cancer cell line was performed at the College of Pharmacy, The Ohio State University using the sulforhodamine B assay as previously described [6].

## Results

### Isolated compounds

The hexane and chloroform fractions of the ethanolic extract from stems and leaves of *D. gracilipes* were subjected to column chromatography over silica gel, Sephadex LH-20 and RP-18 silica gel. The fractionation procedure led to the isolation and the identification of the following compounds: lupenone (compound 1), ursolic acid (compound 2), corosolic acid (compound 3), a mixture of 3 $\alpha$ - and 3 $\beta$ -taraxerols (compounds 4 and 5, respectively), 3 $\beta$ -E-coumaroyltaraxerol (compound 6), pinocembrin (compound 7), scopoletin (compound 8), plumbagin (compound 9) and elliptinone (compound 10) (Fig. 1). <sup>1</sup>H NMR spectral data of isolated compounds are in good agreement with those published in the literature [7-15]. <sup>1</sup>H-<sup>1</sup>H COSY and MS spectra helped to unambiguously establish the structure of elliptinone (compound 10).

This is the first report on the chemistry of *D. gracilipes*, and to our knowledge, the first report of corosolic acid and 3 $\beta$ -E-coumaroyltaraxerol from the genus *Diospyros*.

**Fig 1:** Structures of compounds 1-10 isolated from *D. gracilipes* stems and leaves**Antimicrobial activity**

As shown in Table 1, the ethanolic extract from stems and leaves of *D. gracilipes* was found to be active against the two bacteria *S. aureus* and *K. pneumonia* and the yeast *C. albicans* with inhibition zones of  $9\pm1.2$ ,  $7\pm2$  and  $11\pm1.5$  mm, respectively, at the concentration of 100 µg/disc in the disk diffusion assay. Compounds 2-5 and 9 which were obtained in sufficient amounts were submitted to antimicrobial assay against the three targeted microorganisms. The observed inhibition zones of plumbagin at 50 µg/disc against *S. aureus*

( $43\pm2.9$  mm), *K. pneumonia* ( $30\pm2$  mm), and *C. albicans* ( $37\pm8.8$  mm) were greater than those produced by 30 µg/disc of tetracycline against *S. aureus* and *K. pneumonia* ( $32\pm2$  and  $15\pm2$  mm, respectively) and 50 µg/disc of miconazole against *C. albicans* ( $25\pm2$  mm). When the compound was tested at 10 µg/disc, the activity against *S. aureus* was reduced by half ( $21\pm1.2$  mm). However, at this concentration, it was still more active than 30 µg/disc of tetracycline against *K. pneumonia* ( $28\pm2$  mm) and as active as 50 µg/disc of miconazole against *C. albicans* ( $23\pm8.9$  mm).

**Table 1:** Antimicrobial activity of the ethanolic extract and plumbagin

Microorganisms	Ethanolic Extract (µg/dis)	Plumbagin (µg/disc)		Tetracycline (µg/disc)	Miconazole (µg/disc)
	100	50	10	30	50
Zone of inhibition (mm) <sup>a,b</sup>					
<i>S. aureus</i>	$9\pm1.2$	$43\pm2.9$	$21\pm1.2$	$32\pm2$	NT
<i>K. pneumonia</i>	$7\pm2$	$30\pm2$	$28\pm2$	$15\pm2$	NT
<i>C. albicans</i>	$11\pm1.5$	$37\pm8.8$	$23\pm8.9$	NT	$25\pm2$

<sup>a</sup> Values are expressed as  $\pm S.D$  (Standard Deviation)

<sup>b</sup> Including the diameter of the paper disk (6 mm)

NT: not tested

**Cytotoxic activity**

All the isolated compounds were evaluated for their antiproliferative activity against HT-29 colon cancer cell line. Plumbagin displayed strong cytotoxicity ( $IC_{50}=0.26$  µg/mL), whereas elliptinone showed weaker activity ( $IC_{50}=13.29$  µg/mL) compared to plumbagin. Compounds 1-8 were inactive in this assay.

**Discussion**

Plants still hold a conspicuous place in natural product research due to their relative high diversity, good availability and abundant uses in traditional medicine. A considerable number of plants have been screened for biologically active constituents in multiple therapeutic areas. In the present study, chemical investigations of *D. gracilipes* were initiated after the ethanolic extract from stems and leaves inhibited the growth of *S. aureus*, *K. pneumonia* and *C. albicans* during a primary

screen for antimicrobial compounds from medicinal plants endemic to Madagascar. Ten compounds were characterized and corresponded to six triterpenoids, one coumarin, one flavonoid and two naphtoquinones. The occurrence of 1,4-naphtoquinones represented herein by plumbagin and elliptinone reinforces the view that this class of natural products is widely distributed in *Diospyros* species and may be used as good biochemical markers in this genus [16].

The significant antimicrobial activity of plumbagin against the three targeted pathogenic microorganisms lends strength to previous results that this compound is effective against a number of both Gram-positive and Gram-negative bacteria, and yeasts [14, 17]. The isolation of plumbagin is consistent with the antimicrobial activity detected for *D. gracilipes*. Furthermore, literature search revealed that this compound is a strong anti-progestational substance by exhibiting 100% abortifacient activity in rats at the dose of 2 mg/kg, p.o. [18].

Therefore, it can be assumed that the claimed abortifacient property of *D. gracilipes* may be attributed to the presence of plumbagin.

Cancer remains a major health problem all over the world by causing millions of death and new cases each year. Efforts to find new anticancer agents intensify especially from natural resources [19]. In this connection, all the compounds isolated in this work were evaluated for their cytotoxicity in vitro against HT-29 colon cancer cell line. The results indicate that plumbagin was very active in this assay, but its dimerization to elliptinone considerably reduced the cytotoxicity. Interestingly, elliptinone previously reported from *D. wallichii* was found to be cytotoxic about five times stronger than plumbagin against the MCF-7 human breast carcinoma cell [15]. Plumbagin constantly displays appreciable cytoinhibitory activity in different experimental models [14, 15, 20]. The selectivity of elliptinone cytotoxicity could be linked to steric effects inherent to its high molecular weight compared to that of plumbagin. Further studies are needed to verify this hypothesis.

*D. gracilipes* is a prominent source of medicinally active phyto-elements as inferred from the reported bioactivities of the other isolated compounds. They have been shown to exhibit cytotoxic, anti-inflammatory, antioxidant and anti-diabetic activities [21-24]. These findings add value to this medicinal plant and pave the way for more analyses to explore its pharmaceutical potentials.

### Conclusion

The present study gives the first information about the chemistry and pharmacology of *D. gracilipes*. The current pharmacological data of plumbagin and elliptinone together with those of other researchers could be a basis for further investigations for the development of new drugs of natural origin to fight against infectious diseases and cancer. The reported anti-progestational activity of plumbagin provides a rationale for the popular use of this plant as abortifacient.

### Conflict of interests

Declared none

### Acknowledgement

We are grateful to the National Center for Applied Pharmaceutical Research, Antananarivo, Madagascar for financial support during the plant collection and the supply of chemicals critical to this study. We also thank The Ohio State University, College of Pharmacy NMR facility at The Ohio State University for facilitating the acquisition of the NMR and Mass spectra.

### References

- Lemmens RHMJ, Louppe D. Plant Resources of Tropical Africa 7(2). Timbers 2. Fondation PROTA, Wageningen, Pays-Bas, 2012, 341-343.
- Khan MR, Timi D. Constituents of the root and stem barks leaves and fruits of *Diospyros hallierii*. Fitoterapia 1999; 70(3):320-321.
- Prachayasittikul S, Saraban P, Cherdtrakulkiat R, Ruchirawat S, Prachayasittikul V. New bioactive triterpenoids and antimalarial activity of *Diospyros rubra* Lec. EXCLI J, 2010; 9:1-10.
- Cesari I, Hoerle M, Simoes-Pires C, Grisoli P, Queiroz EF, Dacarro C et al. Anti-inflammatory, antimicrobial and antioxidant activities of *Diospyros bipindensis* (Gurke) extracts and its main constituents. Journal of Ethnopharmacology. 2013; 146(1):264-270.
- Xue Y-L, Miyakawa T, Hayashi Y, Okamoto K, Hu F, Mitani N, et al. Isolation and Tyrosinase Inhibitory Effects of Polyphenols from the Leaves of Persimmon, *Diospyros kaki*. Journal of Agriculture and Food Chemistry. 2011; 59(11):6011-6017.
- Addo EM, Chai HB, Hymete A, Yeshek MY, Slebodnick C, Kingston DGI et al. Antiproliferative constituents of the roots of Ethiopian *Podocarpus falcatus* and Structure revision of 2 $\alpha$ -Hydroxynagilactone F and Nagilactone I. Journal of Natural Products. 2015; 78(4):827-835.
- Prakash CVS, Prakash I. Isolation and Structural Characterization of Lupane triterpenes from *Polypodium Vulgare*. Research Journal of Pharmaceutical Sciences. 2012; 1(1):23-27.
- Kriwacki RW, Pitner TP. Current aspects of practical two-dimensional nuclear magnetic resonance spectroscopy: applications to structure elucidation. Pharmaceutical Research. 1989; 6(7):531-554.
- Zong W, Zhao G. Corosolic acid isolation from the leaves of *Eriobotrya japonica* showing the effects on carbohydrate metabolism and differentiation of 3T3-L1 adipocytes. Asian Pacific Journal of Clinical Nutrition. 2007; 16(Suppl 1):346-352.
- Corbett RE, Gumming SD, Whitehead EV. Lichens and fungi. Part X. 14 $\alpha$ -Taraxerane. Journal of the Chemical Society, Perkin Transactions 1, 1972, 2827-2829.
- McLean S, Reynolds WF, Yang J-P, Jacobs H, Jean-Pierre LL. Total assignment of the  $^1\text{H}$  and  $^{13}\text{C}$  chemical shifts for a mixture of *cis*- and *trans*- $\beta$ -hydroxycinnamoyl esters of taraxerol with the aid of high-resolution,  $^{13}\text{C}$ -Detected,  $^{13}\text{C}$ - $^1\text{H}$  shift correlation spectra. Magnetic Resonance in Chemistry, 1994; 32(7):422-428.
- Laskar RA, Sk I, Roy N, Begum NA. Antioxidant activity of Indian propolis and its chemical constituents. Food Chemistry, 2010; 122(1):233-237.
- Fatiyan PR, Fiatoa B, Raoelson G, Randrianirina AO, Randriantsoa A, Andrianjara C et al. Vasodilator effects of *Cymbopogon pruinosis* (Poaceae) from Madagascar on isolated rat thoracic aorta and structural elucidation of its two bioactive compounds. Journal of Pharmacognosy and Phytochemistry, 2016; 5(1):46-55.
- Gu J-Q, Graf TN, Lee D, Chai H-B, Mi Q, Kardono LBS, et al. Cytotoxic and Antimicrobial Constituents of the Bark of *Diospyros maritima* Collected in two Geographical Locations in Indonesia. Journal of Natural Products. 2004; 67(7):1156-1161.
- Salae A-W, Karalai C, Ponglimanont C, Kanjana-Opas A, Yuenyongsawad S. Naphthalene derivatives from *Diospyros wallichii*. Canadian Journal of Chemistry, 2010; 88(9):922-927.
- Fatiyan PR, Robijaona B, Randrianarivo E, Raharisololalao A, Marie-Therese M, Ngoboua K. Isolation and structural elucidation of cytotoxic compounds from the root bark of *Diospyros quercina* (Baill.) endemic to Madagascar. Asian Pacific Journal of Tropical Biomedicine. 2014; 4(3):169-175.
- Mabona U, Viljoen A, Shikanga E, Marston A, Vuuren SV. Antimicrobial activity of southern African medicinal plants with dermatological relevance: From an ethnopharmacological screening approach, to combination studies and the isolation of a bioactive compound. Journal of Ethnopharmacology. 2013; 148(1):45-55.

18. Dhar SK, Rao PG. Hormonal profile of plumbagin. *Fitoterapia*, 1995; LXVI(5):442-446.
19. Liu Y, Cheng E, Rakotondraibe LH, Brodie PJ, Applequist W, Randrianaivo R *et al.* Antiproliferative compounds from *Ocotea macrocarpa* from the Madagascar dry forest. *Tetrahedron Letters* 2015; 56(23):3630-3632.
20. Yan C-H, Li F, Ma Y-C. Plumbagin shows anticancer activity in human osteosarcoma (MG-63) cells via the inhibition of S-Phase checkpoints and down-regulation of *c-myc*. *International Journal of Clinical and Experimental Medicine*, 2015; 8(8):14432-14439.
21. Ahn KS, Hahn MS, Park EJ, Lee HK, Kim IH. Corosolic acid isolated from the fruit of *Crataegus pinnatifida* var. *psilosa* is a protein kinase C inhibitor as well as a cytotoxic agent. *Planta Medica*, 1998; 64(5):468-470.
22. Yao X, Li G, Bai Q, Xu H, Lü C. Taraxerol inhibits LPS-induced inflammatory responses through suppression of TAK1 and Akt activation. *International Immunopharmacology*, 2013; 15(2):316-324.
23. Tanjung M, Tjahjandarie TS, Sentosa MH. Antioxidant and cytotoxic agent from the rhizomes of *Kaempferia pandurata*. *Asian Pacific Journal of Tropical Disease*. 2013; 3(5):401-404.
24. Xu F, Wu H, Wang X, Yang Y, Wang Y, Qian H *et al.* RP-HPLC characterization of lupenone and  $\beta$ -sitosterol in *Rhizoma musae* and evaluation of the anti-diabetic activity of lupenone in diabetic Sprague-Dawley rats. *Molecules*, 2014; 19(9):14114-14127.

**Premières investigations chimique et biologique sur *Psychotria bridsoniae*  
A.P. Davis & Govaerts, Rubiaceae de Madagascar : Isolement et  
identification de deux iridoïdes**

Oliva Jaconnet ANDRIANAIVORAVELONA<sup>1\*</sup>, Lalasoa Ranaivoarison RANARIVELO<sup>2</sup>,  
Henintsoa HARIZAFY<sup>1</sup>, Vahinalahaja Eliane RAZAFINTSALAMA<sup>2</sup>,  
Faliarivony RANDRIAMIALINORO<sup>2</sup>, Stéphan RAKOTONANDRASANA<sup>2</sup>,  
Andriamalala RAKOTONDRAFARA<sup>2</sup>, Edouard Ravalison ANDRIANARISON<sup>3</sup>,  
Michel RATSIMBASON<sup>2</sup>, Tiana Sylvia RASOARIVELO RALAMBONIRINA<sup>2</sup>  
et Philippe Antoine ANDRIANARY<sup>1</sup>

<sup>1</sup>*Laboratoire de Chimie Physique du Département Génie Chimique de l'Ecole Supérieure Polytechnique d'Antananarivo, BP 1500 Madagascar*

<sup>2</sup>*Centre National d'Application de Recherches Pharmaceutiques, rue R. P. Rahajarizafy A. de Padoue, Ambodivoanjo Ambohijatovo, BP 702, 101 Antananarivo, Madagascar*

<sup>3</sup>*Laboratoire de Chimie Organique du Département Génie Chimique de l'Ecole Supérieure Polytechnique d'Antananarivo, BP 1500 Madagascar*

---

\* Correspondance, courriel : [jacconnetoliva@gmail.com](mailto:jacconnetoliva@gmail.com)

## Résumé

Le screening phytochimique de *Psychotria bridsoniae* A.P. Davis & Govaerts (Rubiaceae), plante endémique de Madagascar a montré la présence des flavonoïdes, des iridoïdes, des stéroïdes et des tanins dans sa partie aérienne. L'extrait méthanolique de la plante possède également un pouvoir antioxydant, avec une valeur importante de 3568 mM Trolox/L d'extrait par la méthode de DPPH, et une valeur de 22,59 mM Trolox/L d'extrait par la méthode d'ORAC. Les fractionnements bioguidés de l'extrait méthanolique ont conduit à l'isolement de deux iridoïdes : l'aspéruloside et l'acide aspérolulosidique. Leurs structures chimiques ont été établies par analyse en spectroscopie de Résonance Magnétique Nucléaire du proton.

**Mots-clés :** *Psychotria bridsoniae, Rubiaceae, screening, iridoïdes, activité antioxydante, Résonance Magnétique Nucléaire.*

## Abstract

**First chemical and biological investigation of *Psychotria bridsoniae* A.P. Davis & Govaerts, Rubiaceae of Madagascar : Isolation and identification of two iridoids**

Phytochemical screening of *Psychotria bridsoniae* (Rubiaceae), endemic plant from Madagascar, showed the presence of flavonoids, iridoids, steroids and tannins in its aerial part. Methanol extract of the plant showed an antioxidant activity with a high value of 3568 mM Trolox/L of extract by DPPH method, and 22,59 mM Trolox/L of extract by ORAC method. Activity-guided isolation of the methanol extract yielded two known iridoids : asperulosid and asperulosidic acid. Their structures have been established by <sup>1</sup>H NMR spectroscopy.

**Keywords :** *Psychotria bridsoniae, Rubiaceae, screening, iridoids, antioxidant activity, NMR spectroscopy.*

## 1. Introduction

*Psychotria bridsoniae* (Rubiaceae) est une plante endémique de Madagascar [1]. A notre connaissance, les travaux antérieurs sur cette espèce sont inexistant. Néanmoins, plusieurs plantes du genre *Psychotria* sont utilisées dans le monde pour le traitement de plusieurs maladies dont l'inflammation de la gorge, la dysenterie, la fièvre, les maux de dents, les maux d'oreilles et les blessures [2-4] ; les morsures de serpent [5] ; les infections virales et bactériennes, et les inflammations [6-8] ; l'hypertension, les dysfonctionnements cardiovasculaires, les perturbations mentales et les désordres alimentaires [9], la malaria, la leishmaniose. [10], les maux d'estomac, les maladies vénériennes [11]. Notre étude est axée sur la détermination des activités biologiques de *P. bridsoniae* en utilisant les différentes méthodes classiques puis l'isolement et l'identification de quelques produits responsables des activités des extraits de la plante

## 2. Matériel et méthodes

### 2-1. Collecte et identification

Les feuilles et inflorescences de *Psychotria bridsoniae* ont été récoltées en juillet 2011 dans la Réserve Naturelle Intégrale (RNI) de Tsaratanana, Commune de Manambato, District d'Ambohijanahola, Région Diana, Madagascar. Elle a été ensuite identifiée par les botanistes du Département Botanique du CNARP, et au sein duquel est déposé un herbier de référence Rakotondrafara A. 1056 (*voir Figure 1*).



**Figure 1 : Herbier de *Psychotria bridsoniae* A.P. Davis & Govaerts**  
(Source : Herbarium CNARP, Rakotondrafara A. 1056)

### 2-2. Criblage phytochimique

Le criblage phytochimique, suivant les méthodes adoptées par H.H.S. Fong et al. (1977), D.R. Dalton (1979), G. Cordell (1981), J. Bruneton (1987, 1993 ; 2009), A. Gurib-Fakim (1994), V. Plouvier et al. (1971) a été utilisé pour la détection des familles de molécules présentes dans la plante. Ces méthodes utilisent des réactifs spécifiques pour chaque famille à détecter. Les tests sont basés sur la formation de complexes insolubles ou de complexes colorés, à partir de poudre de plantes, ou d'extrait hydroéthanolique.

### 2-3. Préparation des extraits

Les feuilles et les inflorescences de *Psychotria bridsoniae* sont séchées, broyées puis macérées dans du solvant de polarité croissante : a) mélange dichlorométhane/hexane [60 :40] cinq fois, b) méthanol cinq fois.

### 2-4. Analyse d'activité antioxydante

La détection de l'activité antioxydante des extraits de la plante a été effectuée par trois méthodes différentes : méthode DPPH ou 1,1-diphenyl-2-picryl-hydrazyl [12, 13] ; méthode « bioautography », et méthode ORAC (Oxygen Radical Absorbance Capacity) [14].

### 2-5. Fractionnement et isolement

Le fractionnement et l'isolement des produits ont été effectués sur des colonnes chromatographiques en utilisant le gel de silice comme phase fixe et des solvants de polarité différente comme phase mobile. La chromatographie sur couche mince (CCM) a été utilisée pour les suivis des fractionnements.

### 2-6. Analyse RMN

L'enregistrement des spectres RMN  $^1\text{H}$  des deux produits a été effectué au sein du Laboratoire de Pharmacognosie de Paris V sur un appareil Bruker Avance. Les spectres sont mesurés dans du  $\text{CD}_3\text{OD}$  à 400 MHz.

## 3. Résultats et discussion

### 3-1. Rendement de l'extraction

160 g de poudre de plante ont donné 3,55 g d'extrait dichlorométhane, de couleur vert très foncé, soit un rendement de 2,22 % et 22,22 g d'extrait méthanolique, de couleur marron jaunâtre, avec un rendement de 13,89 %.

### 3-2. Screening phytochimique

Le **Tableau 1** résume les résultats obtenus lors du screening phytochimique de *Psychotria bridsoniae*. Ce **Tableau** montre la présence des métabolites secondaires suivants dans *Psychotria bridsoniae* :

- des composés phénoliques et dérivés, qui sont surtout représentés par les flavonoïdes (flavanones, flavanonols, flavanones, leucoanthocyanes), les tanins condensés et les phénols ;
- des terpénoïdes dont les iridoïdes, et les stéroïdes.

Cependant on a remarqué que la plante ne contient qu'une quantité infime d'alcaloïdes.

**Tableau 1 : Résultats du criblage phytochimique des feuilles et inflorescences de *Psychotria bridsoniae***

Famille chimique à détecter	Réactifs de caractérisation	Résultats
<b>Alcaloïdes</b>		
Alcaloïdes	KI, I <sub>2</sub> , HgCl <sub>2</sub> , Bi(NO <sub>3</sub> ) <sub>3</sub> , acide tartrique	+
<b>Composés phénoliques</b>		
Flavanones, flavanonols	HCl concentré, tournures de magnésium	+++
Flavones	HCl concentré, tournures de magnésium, alcool isoamylique	+++
Anthocyanes	HCl 25 % aqueux, ammoniaque	-
Leucoanthocyanes	HCl concentré	+++
Coumarines	NaOH 20 % aqueux	-
Anthraquinones	NH <sub>4</sub> OH	-
Hétérosides anthraquinones	HCl 12 %, NH <sub>4</sub> OH 20 %	-
Tanins	Gélatine salée 1 % (gélatine 1 % + NaCl 10 %, 50/50 v/v)	++
Tanins condensés	FeCl <sub>3</sub> 10 %	+++
Phénols et flavanes	Solution hydroéthanolique à 2 % de vanilline et 12 % de HCl	+++
Polyphénols	Gélatine à 1 %	+++
Stéroïdes	Anhydride acétique, H <sub>2</sub> SO <sub>4</sub> concentré	+++
Cardénolides	H <sub>3</sub> PO <sub>4</sub> à 2 %, Acide trichloracétique à 20 %	-
Iridoïdes	HCl, CuSO <sub>4</sub> , Glycérol	+++

- : test négatif : aucune réaction observée

+ : faible coloration ou formation de peu de précipité

++ : Coloration franche ou précipité abondante

+++ : Coloration intense ou flocculation immédiate ou hauteur de mousse supérieure à 5cm.

### 3-3. Activité antioxydante

La détection de l'activité antioxydante des extraits de la plante a été effectuée par trois méthodes différentes : méthode DPPH, méthode « bioautography », et méthode ORAC.

#### 3-3-1. Méthode DPPH

La technique d'analyse de l'activité antioxydante, faite sur microplaques, avec une solution méthanolique DPPH à 4 mg/10 mL, a permis de mettre en évidence d'une part une activité antioxydante élevée de l'extrait méthanolique de 3568 mM Trolox/L d'extrait, et d'autre part, un résultat positif pour l'extrait dichlorométhane, mais caractérisé par une valeur d'inhibition faible de 63 mM Trolox/L d'extrait.

#### 3-3-2. Méthode « bioautography »

Seul l'extrait méthanolique présente une activité antioxydante (décoloration de la couleur violette aux alentours des dépôts). Ceci explique le piégeage de radical libre (DPPH+) par les composants organiques des extraits testés.

### 3-3-3. Méthode ORAC

Le test d'activité antioxydante des extraits de la plante, suivant la méthode ORAC par le principe de transfert d'hydrogène, a donné les valeurs respectives de 22,59 mM Trolox/L d'extrait pour l'extrait méthanolique et 15,60 mM Trolox/L d'extrait pour l'extrait dichlorométhane.

### 3-4. Isolement et purification

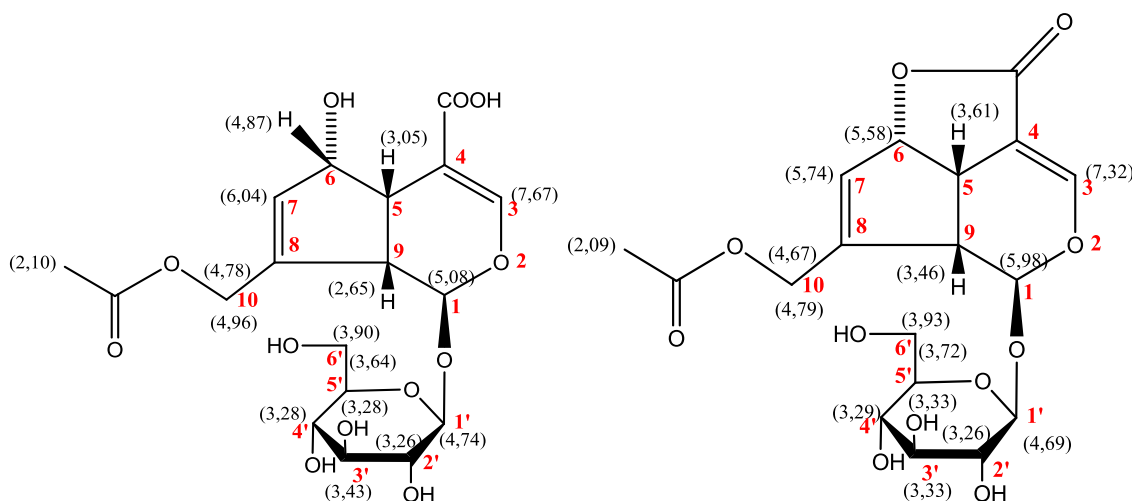
Le fractionnement de 22 g d'extrait méthanolique de la plante sur colonne ouverte de gel de silice avec un gradient de  $\text{CH}_2\text{Cl}_2/\text{MeOH}$  [100 : 0 à 70 : 30], puis  $\text{AcOEt}/\text{MeOH}$  [60 : 40 à 50 : 50] a permis d'obtenir 24 fractions numérotées de 1 à 24. Le produit A (27,2 mg) a été obtenu de la fraction 16 (209 mg) après passage sur une colonne ouverte de gel de silice (70-270 Mesh), avec un système solvant isocratique :  $\text{CH}_2\text{Cl}_2 / 10\% \text{ Méthanol}$ . A est caractérisé en CCM par une tache sombre sous lampe UV et par une tache bleue après révélation à la vanilline sulfurique, ce qui est caractéristique d'un iridoïde d'après [15]. La valeur du rapport frontal ( $R_f$ ) du spot sur le profil est de 0,29,. Le traitement de 132 mg de la fraction 19 sur une colonne de gel de silice 60 (70-270 Mesh), par un système de solvant isocratique :  $\text{CH}_2\text{Cl}_2/12\% \text{ MeOH}$ , a mené au produit enrichi B (4 mg). Il est caractérisé par un profil CCM sombre sous lampe UV et par une tache bleue après révélation à la vanilline sulfurique (Eluant :  $\text{CH}_2\text{Cl}_2/10\% \text{ MeOH}$ ). La valeur du rapport frontal ( $R_f$ ) du spot sur le profil est de 0,43.

### 3-5. Analyse RMN $^1\text{H}$ des produits A et B

L'analyse des spectres reportée dans le **Tableau 2** révèlent que les deux produits A et B sont des iridoïdes glycosylées. En effet, ils présentent les mêmes signaux à quelques exceptions près. Les signaux déblindés à 7,67 ppm pour A et 7,32 ppm pour B appartiennent au proton porté par la double liaison en position 3 du cycle pyranique, tandis que les signaux à 6,04 ppm (pour A) et 5,98 ppm (pour B) sont attribués au proton porté par la double liaison en position 7 du cyclopentane. Les protons du groupe acetyl ( $\text{CH}_3\text{-COO-}$ ) résonnent à 2,10 ppm pour A et 2,09 ppm pour B. Ces signaux sont caractéristiques des iridoïdes. La présence du proton anomérique à 4,74 ppm pour le produit A et 4,67 ppm pour le produit B, ainsi que les signaux de deux protons à couplage géminal à 3,64 ppm et 3,90 ppm (dd,  $^2J_{a-b} = 12 \text{ Hz}$ ) pour le produit A et 3,93 ppm et 3,72 ppm pour le produit B et enfin les restes des signaux dans la zone 3-4 ppm indiquent que les deux produits possèdent dans leur structure le même sucre qui est le glucose. Les autres signaux sont en parfaite concordance avec les signaux de l'acide aspérulosidique de formule brute  $\text{C}_{18}\text{H}_{24}\text{O}_{12}$  décrit par [16] pour le produit A et l'aspéruloside de formule brute  $\text{C}_{18}\text{H}_{22}\text{O}_{11}$  décrit par [17] pour le produit B. L'aspéruloside est une molécule souvent rencontrée chez la famille végétale Rubiaceae, dont le genre *Psychotria*.

**Tableau 2 :** Données spectrales RMN<sup>1</sup>H des produits A et B (CD<sub>3</sub>OD, 400 MHz)

Position	Produit A		Produit	
	$\delta$ (ppm) expérimental	J <sub>H-H</sub> expérimental	$\delta$ (ppm) expérimental	J <sub>H-H</sub> expérimental
H-3	7,67 (s)	-	7,32 (s)	
H-7	6,04 (dd)	-	5,98 (dd)	<sup>3</sup> J <sub>1,9</sub> = 1,5 Hz ; J <sub>1,5</sub> = 0,5 Hz
H-1	5,08 (d)	<sup>3</sup> J <sub>1,9</sub> = 9 Hz	5,74 (d)	-
H-10a	4,96 (d)	<sup>2</sup> J <sub>a-b</sub> = 15 Hz	5,58 (d)	<sup>3</sup> J <sub>b-5</sub> = 6,5 Hz
H-6 (-OH) Référence : H-6 (-C-H)	4,87 (dd)	-	4,79 (dd)	<sup>2</sup> J <sub>a-b</sub> = 14 Hz, <sup>4</sup> J = 2 Hz, <sup>4</sup> J = 1,5 Hz
H-10b	4,78 (d)	<sup>2</sup> J <sub>b-a</sub> = 15 Hz	4,69 (d)	<sup>3</sup> J <sub>1,2'</sub> = 8 Hz
H-1'	4,74 (d)	<sup>3</sup> J <sub>1,2'</sub> = 8 Hz	4,67 (d)	<sup>2</sup> J <sub>a-b</sub> = 14 Hz, <sup>4</sup> J = 2 Hz, <sup>4</sup> J = 1,5 Hz
H-6'a	3,90	-	3,93	<sup>2</sup> J <sub>a-b</sub> = 12 Hz, <sup>3</sup> J <sub>b-5'</sub> = 2 Hz
H-6'b	3,64 (dd)	<sup>2</sup> J <sub>a-b</sub> = 12 Hz, <sup>3</sup> J <sub>b-5'</sub> = 6 Hz	3,72 (dd)	-
H-3'	3,43 (m)	-	3,46 (m)	-
H-4'	3,28 (m)		3,29 (m)	
H-5'	3,28 (m)		3,33 (m)	
H-2'	3,26 (m)		3,21 (m)	
H-5	3,05 (dd)	<sup>3</sup> J <sub>5-6</sub> = 8 Hz, J <sub>5-9</sub> = 6 Hz	3,05 (dd)	J = 9,5 Hz, J = 6 Hz
H-9	2,65 (dd)	<sup>3</sup> J <sub>9,1</sub> = 9 Hz, <sup>3</sup> J <sub>9,5</sub> = 6 Hz	2,65 (dd)	J = 9 Hz ; J = 6 Hz
CH <sub>3</sub> -(CO)-O-	2,10	-	2,09	-

**Figure 3 :** Structure de l'acide aspérolulosidique (A)**Figure 4 :** Structure de l'asperuloside (B)

#### 4. Conclusion

Cette étude sur *Psychotria bridsoniae*, Rubiaceae endémique de Madagascar, constitue la première recherche sur cette espèce végétale tant au point de vue chimique que biologique. Le screening phytochimique réalisé sur la poudre et les extraits de la plante a montré la présence de composés phénoliques, et des terpénoïdes comme les stéroïdes et iridoïdes. L'extraction du broyat de feuilles et d'inflorescences de la plante, suivie du fractionnement et de la purification de l'extrait méthanolique par diverses techniques chromatographiques ont conduit à l'isolement de l'acide aspérulosidique et de l'aspéruloside, ainsi que d'autres produits dont les structures sont en cours d'étude. Les profils chimiques des produits isolés, obtenus par analyses spectrales sont en accord avec les résultats des screening phytochimiques. L'analyse des activités antioxydantes a montré la potentialité de l'extrait méthanolique, avec une valeur importante de 3568 mM Trolox/L d'extrait par la méthode DPPH, et une valeur 22,59 mM Trolox/L d'extrait par la méthode ORAC. Des études ont montré que l'aspéruloside et ses dérivés ont des propriétés antioxydantes [18], ce qui est retrouvé dans l'extrait de *P. bridsoniae*, alors que certains iridoïdes possèdent des propriétés anticancereux, anti-inflammatoires, antifongiques et antibactériennes [19-21]. L'ensemble des résultats obtenus sont comparables avec les données antérieures répertoriées sur quelques espèces du genre *Psychotria*. Néanmoins, *Psychotria bridsoniae* ne renferme qu'une quantité infime d'alcaloïdes.

#### Remerciements

*Nous présentons nos sincères remerciements au Laboratoire de Pharmacognosie de l'Université Paris Descartes pour les analyses spectrales des produits isolés et au Laboratoire de Chimie de Substances Naturelles et Sciences des Aliments de l'Université de La Réunion pour les tests biologiques et à l'Ambassade de France à Madagascar pour les Bourses octroyées aux chercheurs du CNARP.*

#### Références

- [1] - A. P. DAVIS, D. BRIDSON, C. JARVIS, R. GOVAERTS, The typification and characterization of the genus *Psychotria* L. (Rubiaceae). *Botanical Journal of the Linnean Society*, 35 (2001) 35-42.
- [2] - P. BOITEAU, M. BOITEAU, L. A. BOITEAU, *Index des noms scientifiques avec leurs équivalents malgaches (Collection « nature ») : Flore de Madagascar*. (1997).
- [3] - P. M. GIANG, H. V. SON, P. T. SON, Study on the Chemistry and Antimicrobial Activity of *Psychotria reevesii* Wall. (Rubiaceae). *Journal of Chemistry*, 45 (5) (2007) 628 - 633.
- [4] - M. RANDRIAMAHEFA, A. RAKOTOZAFY. *Tari-dàlana ahafantarana ny raokandro Malagasy. Recherches Bibliographiques sur les utilisations empiriques des plantes médicinales malagasy*. Inéd. (1979).
- [5] - P. GRENNAND, C. MORETTI, H. JACQUEMIN, *Pharmacopées traditionnelles en Guyane : Créoles, Palikur, Wayapi*. Ed. ORSTOM. (1987).
- [6] - Y. C. KUO, C. C. CHIEN, W. J. TSAI, Y. H. HO, Regulation of herpes simplex virus type 1 replication in Vero cells by *Psychotria serpens*: relationship to gene expression, DNA replication, and protein synthesis. *Antiviral Research*, 51 (2001) 95-109.
- [7] - N. H. LAJIS, Z. MAHMUD, R. F. TOIA, The Alkaloids of *Psychotria rostrata*. *Planta Medica*. 59 (1993) 383-384.
- [8] - C. P. LOCHER, M. T. BURCH, H. F. MOWER, J. BERESTECKY, H. DAVIS, B. VAN POEL, A. LASURE, B. D. A. VANDEN, A. J. VLIETINCK, Anti-microbial activity and anti-complement activity of extracts obtained from select Hawaiian plants. *Jounal of Ethnopharmacology*, 49 (1995) 23-32.

- [9] - C. CABALLERO-GEORGE, P. M. L. VANDERHEYDEN, P. N. SOLIS, L. PIETERS, A. A. SHAHAT, M. P. GUPTA, G. VAUQUELIN, A. J. VLIETNICK, Biological screening of selected medicinal Panamenian plants by radioligand-binding techniques. *Phytomedicine*, 8 (2001) 59-70.
- [10] - I. MUHAMMAD, D. C. DUNBAR, S. I. KHAN, B. L. TEKWANI, E. BEDIR, S. TAKAMATSU, D. FERREIRA, L. A. WALKER, Antiparasitic alkaloids from *Psychotriaklugii*. *Journal of Natural Products*, 66 (2003) 962-967.
- [11] - M. R. KHAN, M. KIHARA, A. D. OMOLOSO, Antimicrobial activity of *Psychotria microlabstra*. *Fitoterapia*, 72 (2001) 818-821.
- [12] - D-S. LEE, N-S. KIM, S-H. LEE, 2, 2-Diphenyl-1- picrylhydrazyl Hydrate, a Stable Free Radical, Is an  $\alpha$ -Glucosidase Inhibitor. *Journal of Biological & Pharmaceutical Bulletin*, 24 (6) (2001) 727-728.
- [13] - C. POPOVICI, I. SAYKOVA, B. TYLKOWSKI, Evaluation de l'activité antioxydant des composés phénoliques par la réactivité avec le radical libre DPPH. *Revue de Génie Industriel*, 4 (2009) 25-39.
- [14] - AGROBIO-RENNES, Méthode ORAC. Consulté le 04/09/2014 sur [http://www.agrobio-rennes.com/Etudes\\_et\\_Recherches/Tests\\_de\\_biolologie\\_fonctionnelle/la-mesure-du-pouvoir-antioxydant-par-la-methode-orac.php](http://www.agrobio-rennes.com/Etudes_et_Recherches/Tests_de_biolologie_fonctionnelle/la-mesure-du-pouvoir-antioxydant-par-la-methode-orac.php)
- [15] - E. N. M. MAHBOB, R. AHMAD, S. AHMAD, Nitric Oxide (NO) Radical Inhibitory of *Hedyotis philippinensis* and its Marker Compound, Asperuloside; *Malaysian Journal of Fundamental and Applied Sciences* 10(1), (2014) 7-11.
- [16] - K. KAMIYA, W. HAMABE, S. HARADA, R. MURAKAMI, S. TOKUYAMA, T. SATAKE, Chemical Constituents of *Morinda citrifolia* Roots Exhibit Hypoglycemic Effects in Streptozotocin-Induced Diabetic Mice. *Biological and Pharmaceutical Bulletin*, 31 (2008) 935 - 938.
- [17] - J-G TANG, F-C. REN, J-K. LI, Chemical constituents of *Morinda citrifolia*. *Nat. Prod. Res. Dev.*, 21 (2009) 779-781.
- [18] - C-M. LU, J-J. YANG, P-Y WANG, C-C LIN, 'A new acylated flavonol glycoside and antioxidant effects of *Hedyotis diffusa*', *Planta Med.* 66(2000) 374-377.
- [19] - F GEU-FLORES, N. H. SHERDEN, V. COURDAVANT, V. BURLAT, W.S. GLENN, C. WU, E. NIMS, Y. CUI & S E. O'CONNOR, An alternative route to cyclic terpenes by reductive cyclization in iridoid biosynthesis. *Nature* 492, (2012) 138-142.
- [20] - B. DINDA, S. DEBNATH, & R. BANIK, Naturally occurring iridoids and secoiridoids. An updated review, part 4. *Chem. Pharm. Bull. (Tokyo)* 59 (2011) 803-833.
- [21] - MORENO-ESCOBAR, A. JORGE; L. ALVAREZ; V. RODRIGUEZ-LOPE, S. M. BAHENA, "Cytotoxic glucosydic iridoids from *Veronica Americana*". *Phytochemistry letters*. Elsevier 6 (4) (2013) 610-613.